

## اثر آلایش نقاط کوانتمومی گرافن با عناصر K, B, N و Cl بر طیف گسیلی آن

امین کاظمی<sup>۱\*</sup>، محمد رضا فدوی اسلام<sup>۱</sup>، غلام رضا یزدی<sup>۲</sup>

۱- دانشکده فیزیک، دانشگاه دامغان، دامغان، ایران

۲- گروه نیمرسانان، دانشکده فیزیک، دانشگاه لینشپینگ، سوئد

(دریافت مقاله: ۹۹/۵/۲۹، سخن‌نهایی: ۹۹/۸/۲۴)

چکیده: در این پژوهش، اثر آلایش نقاط کوانتمومی گرافن بر طیف‌های گسیلی آن‌ها بررسی شده است. نخست گرافن بر زیرلایه کاربید سیلیکون به روش روآرایی لایه نشانی شد. سپس نقاط کوانتمومی گرافن آلایش شده بر زیر لایه گرافن به روش قطربه چکانی توزیع شدند. ساختار نمونه‌ها توسط پراش سنج پرتو ایکس (XRD)، میکروسکوپ الکترونی روبشی (SEM)، میکروسکوپ الکترونی عبوری (TEM)، میکروسکوپ نیروی اتمی (AFM) و طیف سنج رامان مشخصه یابی شد. طیف‌های گسیلی از نقاط کوانتمومی گرافن در اثر تابش نور فرابنفش بررسی شدند. پراش پرتو ایکس از گرافن رشد داده شده بر زیر لایه کاربید سیلیکون ساختار گرافن و کاربید سیلیکون را تایید کرد. تصویر میکروسکوپ نیروی اتمی یکنواختی سطح گرافن رشد داده شده بر کاربید سیلیکون را نشان داد. نگاشت بازتابندگی به دست آمده از طیف‌سنج رامان وجود تک لایه‌ها و دولایه‌های گرافن را تایید کرد. تصاویر میکروسکوپ‌های الکترونی روبشی و نیروی اتمی نیز توزیع یکنواخت نقاط کوانتمومی گرافن بر زیر لایه را نشان دادند. دیده شد که با افزایش آلایش نقاط کوانتمومی توسط بور از ۷۵٪ به ۱۵٪ و برای پتانسیم از ۲٪ به ۴٪، شدت طیف گسیلی آن‌ها افزایش می‌یابد. همچنین با افزایش مقدار آلایش نیتروژن و کلر از ۲٪ به ۴٪، شدت طیف گسیلی کاهش یافت. افزون بر آن، شدت قله‌های طیف گسیلی نقاط کوانتمومی آلایش شده با پتانسیم بیش از بور و شدت قله‌های نقاط کوانتمومی گرافن آلایش شده با نیتروژن نسبت به کلر بیشتر است. به طور کلی، بیشترین و کمترین افزایش شدت طیف گسیلی در اثر آلایش به ترتیب با پتانسیم و کلر است.

واژه‌های کلیدی: گرافن؛ نقاط کوانتمومی گرافن؛ طیف گسیلی.

شود تا به صورت حسگری زیستی بکار گرفته شود [۱۰]. افزون بر این، شفافیت نوری، رسانایی گرمایی و الکتریکی، چگالی حامل‌های بالا ( $10^{12} \text{ cm}^{-3}$ )، تحرک‌پذیری بالای الکترون (V.S) و مقاومت الکتریکی پایین آن سبب شده است که یک انتخاب بسیار مناسب در قطعه‌های نانوالکترونیک باشد [۱۱]. اگرچه تک لایه گرافیت به ضخامت یک اتم به عنوان نیمرسانایی با گاف نواری صفر شناخته می‌شود، اما گاف نواری آن بستگی به اندازه و آلایش آن دارد [۱۲]. بنابراین نقاط کوانتمومی گرافن به دلیل اندازه ویژه خود دارای ویژگی‌های فیزیکی بی‌مانندی هستند [۱۳]. به تازگی نقاط کوانتمومی

### مقدمه

نیمرساناهای بدليل دارا بودن ویژگی‌های متنوع و بی‌مانند اپتیکی، الکتریکی و مغناطیسی توجه بسیاری را به خود جلب کرده‌اند [۱-۵]. گرافن نیمرسانان، دارای ساختار لانه زنبوری دو بعدی و پیوندهای  $sp^2$  است و به دلیل ویژگی‌های نوری، الکتریکی، مکانیکی و گرمایی ویژه در قطعه‌های گوناگون بکار برده می‌شود [۶-۷]. این نیمرسانان دارای سطح یکنواخت مناسب برای استفاده به عنوان یک سطح حسگر است [۸، ۹]. گرافن همچنین می‌تواند پیوندهای  $\pi-\pi$  با برخی مولکول‌های زیستی از طریق نیروهای ضعیف واندروالس ایجاد کند که باعث می

کاربردهایی چون حسگری گازی، تصویر برداری زیستی، آشکارسازهای نوری، تبدیل انرژی، دیودهای نور گسیل (LED) و سلولهای خورشیدی آماده می‌کند.

### روش آزمایش ستنتز گرافن بر زیرلایه کاربید سیلیکون

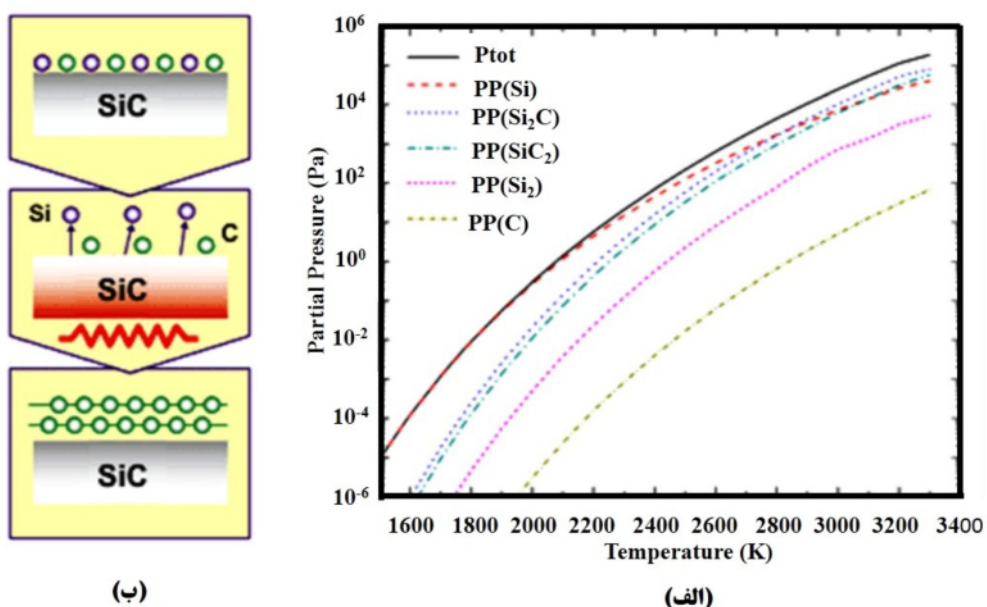
زیرلایه کاربید سیلیکون (SiC) از شرکت کری امریکا خریداری شد. پیش از رشد گرافن، وجه سیلیکونی زیر لایه 4H-SiC به روش پولیش مکانیکی شیمیایی (CMP) پرداخت و به ابعاد ۷ در ۷ میلیمتر مربع برش داده شد و طی چهار مرحله تمیز گردید. و سپس لایه گرافن در آزمایشگاه به روش تصحیید بر زیرلایه 4H-SiC رشد داده شد [۳۲، ۳۱]. برای از بین بردن آلینده‌های شیمیایی روی سطح زیر لایه‌های کاربید سیلیکون از هپتان و روش غوطه وری استفاده شد. هر زیرلایه در استون و اتانول به مدت پنج دقیقه در معرض امواج فراصوت ۵۰ هرتز و دمای ۸۰ درجه سلسیوس قرار گرفت. سپس آمونیاک (NH<sub>3</sub>) و آب اکسیژنه (H<sub>2</sub>O<sub>2</sub>) به نسبت مساوی ۱:۱ در آب دو بار یونیده حل شده و زیر لایه‌ها در آن قرار گرفته و برای ۵ دقیقه بر گرمکن ۸۵ درجه سلسیوس گرماده شدند. در ادامه، زیر لایه‌ها ۱۰ مرتبه با آب دو بار یونیده شستشو داده شدند. همچنین به منظور از بین بردن آلینده‌های معدنی از محلول اسید کلریدریک (HCl)، آب اکسیژنه (H<sub>2</sub>O<sub>2</sub>) و آب دو بار یونیده استفاده شد. به این منظور، آن‌ها در محلول غوطه‌ور کرده و به مدت پنج دقیقه روی گرمکن در دمای ۸۵ درجه سانتیگراد گرماده کردیم. سرانجام آن‌ها را با آب دو بار یونیزه شسته و با استفاده از گازهای بی‌اثر نیتروژن و آرگون خشک نمودیم. در آخرین مرحله تمیز کاری با هدف زدودن لایه اکسیژن از روی زیر لایه کاربید سیلیکون، از مخلوط آب یونیده و فلورید هیدروژن به نسبت ۱:۳ به برای دو دقیقه استفاده شد. برای رشد لایه گرافن به روش تصحیید (برآرایی)، زیر لایه‌های کاربید سیلیکون در کوره القایی با دمای ۲۰۰۰ درجه سانتیگراد و در جو آرگون با فشار تقریبی یک اتمسفر قرار گرفتند. ستنتز گرافن بر وجه سیلیکونی SiC در راستای بلوری (۰۰۰۱) آن انجام شد. در این فرایند، سیلیکون و کربن در دمای ۲۰۰۰ درجه سانتیگراد تصحیید شده و به دلیل بیشتر بودن فشار جزئی سیلیکون‌ها در مقایسه با کربن‌ها (شکل ۱ الف)، ذرات سیلیکون از سطح زیر لایه دور می‌شوند و کربن‌های باقی مانده لایه گرافن را تشکیل می‌دهند. شکل ۱ ب طرحواره ستنتز لایه گرافن بر کاربید سیلیکون را نشان می‌دهد.

گرافن صفربعدی، به دلیل محدودیت‌های کوانتمی و آثار لبه‌ای توجه بسیاری را به خود جلب کردند [۱۴، ۱۵]. گرافن به دلیل داشتن طیف نوری گسیلی مناسب در قطعه‌های اپتیکی نیز کاربردهای گوناگون دارد [۱۳]. آلایش نیمرسانانها می‌تواند منجر به تغییر ویژگی‌ها و حتی ایجاد ویژگی‌های جدید در آن-ها گردد [۱۶-۱۹].

روش‌های متعددی برای تهیه تک لایه‌های گرافن وجود دارد؛ یکی از آن‌ها لایه‌برداری از گرافیت است که متأسفانه بزرگترین لایه‌های به دست آمده از این راه ابعاد ۱۰ در ۱۰ میکرومتر مربع دارند که برای مصارف صنعتی مناسب نیست [۲۰]. روش دیگر، لایه‌نشانی تبخیر شیمیایی (CVD) گرافن بر زیرلایه‌های فلزی چون مس، نیکل و روبيديوم است [۲۱، ۲۲]. در این روش، ناخالصی‌های فلزی موجب نقص‌های بسیاری می‌گردند که بر ویژگی‌های الکترونی، الکتروشیمیایی و مکانیکی گرافن اثر دارد [۲۳]. افزون بر این، رشد گرافن به این روش نیازمند جابجا کردن گرافن بر یک زیرلایه نیمرسانای مجزای مطلوب برای کاربری صنعتی آن است که تا به امروز چنین جابجایی موثری گزارش نشده است [۲۴]. روش دیگر رشد گرافن، کاهش شیمیایی اکسید آن است [۲۵].

رشد برآرایی گرافن (EG) بر زیرلایه کاربید سیلیکون از روش‌هایی است که به تازگی توجه بسیاری را به خود جلب کرده است [۲۶]. تشکیل ساختار گرافن بر زیرلایه کاربید سیلیکون ششگوشی به وسیله تصحیید سیلیکون در خلا و یا در جو گاز آرگون، یک شیوه جذاب با مزایای متعدد است [۲۷، ۲۸]. نیمرسانای کاربید سیلیکون با گاف نواری بزرگ به عنوان است، بلکه می‌توان گرافن را در ابعاد زیرلایه رشد داد [۲۶]. برآرایی گرافن بر زیر لایه کاربید سیلیکون دارای نقص‌های کمتری بوده و نیازمند هیچ‌گونه جابجایی نیست. بنابراین از آلودگی‌های ناشی از این فرآیندها و موثر بر ویژگی‌های الکترونی، الکتروشیمیایی و مکانیکی گرافن دور است [۲۹، ۳۰].

در این پژوهش، گرافن به روش برآرایی بر زیرلایه کاربید سیلیکون لایه نشانی شد. با توجه به اهمیت طیف گسیلی گرافن برای کاربردهای اپتیکی این طیف بررسی گردید. در این راستا، اثر آلایش نقاط کوانتمی گرافن با عناصر بور، پتاسیم، نیتروژن و کلر بر طیف گسیلی آن‌ها بررسی شد. اهمیت این پژوهش از آنجاست که آلایش اتم‌های مختلف، گاف نواری نقاط کوانتمی گرافن را به شدت تغییر داده و آن‌ها را برای



شکل ۱ (الف) وابستگی دمایی فشار جزئی بخار مواد مختلف در تعادل با یک بلور روی زیر لایه SiC [۳۳]. (ب) طرحواره سنتز لایه گرافن بر کاربید سیلیکون به روش تصعید [۳۳].

برای هیدروکسید آمونیوم ( $\text{NH}_4\text{OH}$ ) نیز انجام شد. سپس ۱۵ میکرولیتر از محلول‌های آلیش تهیه شده در وسط زیرلایه‌های گرافن به روش قطره چکانی و توسط نمونه گیر لایه نشانی شدند. سر انجام نمونه‌ها در اتاق تمیز و در محفظه هود و در دمای آزمایشگاه نگه داشته شدند تا کامل خشک شوند.

#### مشخصه‌بایی نمونه‌ها

برای تعیین ساختار بلوری نمونه‌ها از دستگاه پراش پرتو ایکس (XRD) مدل D8 ADVANCE-BRUKER ریختار آن‌ها توسط میکروسکوپ نیروی اتمی Digital instrument 3100, Veeco, CA, LEO 1550 Gemini, Infinity1 بررسی گردید. برای بررسی یکنواختی ضخامت لایه گرافن، نگاشت بازتابندگی سطح نمونه با میکروسکوپ نوری نیکون شد. همچنین سطح نمونه‌ها با میکروسکوپ نوری نیکون رامان Kyoto TRIAX 550، Kyoto با قدرت تفکیک فضایی کمتر از ۵۳۲ نانومتر (۲/۳۳ eV) و قدرت سنج نورتابی (pL) طیف‌های گسیلی از نقاط کوانتمومی در اثر تابش نور فرا بنشش بررسی شد.

#### آلیش زیر لایه گرافن با نقاط کوانتمومی

نقاط کوانتمومی گرافن (GQD) مورد نیاز در این پژوهش از شرکت ACS material با مشخصات ارائه شده در جدول ۱ تهیه شدند.

عناصر پتاسیم (K)، کلر (Cl)، نیتروژن (N) و بور (B) برای آلیش نقاط کوانتمومی در نظر گرفته شدند. نقاط کوانتمومی توسط هر یک از این عناصر با دو مقدار متفاوت آلیش شدند. منبع عناصر آلیش در جدول ۲ ارائه شده است. برای آلیش نقاط کوانتمومی با پتاسیم، ۰/۳ گرم از پودر هیدروکسید پتاسیم (KOH) با ۱۵ میلی لیتر آب حل شد. این محلول به نسبت ۱:۱ با نقاط کوانتمومی ترکیب گردید و سپس به مدت یک ساعت در معرض امواج فرماصوت ۵۰ هرتز در دمای ۲۷ درجه قرار داده شد. محلول به دست آمده با ۱۱۰۰ rpm در دمای ۲۷ درجه سانتریفیوژ شد تا ذرات ریز و درشت از هم جدا گردند. سپس به آرامی ۰/۵ میلی لیتر از بالای محلول جدا شد تا به عنوان منبع آلیش مورد استفاده شود. فرآیند آلیش برای منبع پودری اسید بوریک ( $\text{H}_3\text{BO}_3$ ) نیز به همین صورت بود. برای آلیش نقاط کوانتمومی با کلر نیز یک میلی لیتر اسید کلریدریک (HCl) با ۳ میلی لیتر آب دو بار یونیده مخلوط و به نسبت ۱:۱ با نقاط کوانتمومی ترکیب شد. این فرآیند آلیش

جدول ۱ مشخصه‌های نقاط کوانتومی گرافن.

نقطه کوانتومی گرافن	نام ترکیب
محلول بی رنگ	ظاهر
۵۳۰ نانومتر	قله نورتایی
کمتر از ۶ نانومتر	اندازه ذرات
۱ میلی گرم بر میلی لیتر	چگالی
آب (و مقدار کمی) (DMF)	حلال

جدول ۲ آلاینده‌های نقاط کوانتومی گرافن بر حسب

غلهای آلایش (درصد وزنی)	منبع آلایش	آلاینده (D)
≈ ۰,۷۵	H <sub>3</sub> BO <sub>3</sub> (پودر)	بور (B)
≈ ۱,۵		
≈ ۲	HCl (37%)	کلر (Cl)
≈ ۴	KOH (پودر)	پتاسیم (K)
≈ ۲		
≈ ۴	NH <sub>4</sub> OH (25%)	نیتروژن (N)
≈ ۴		

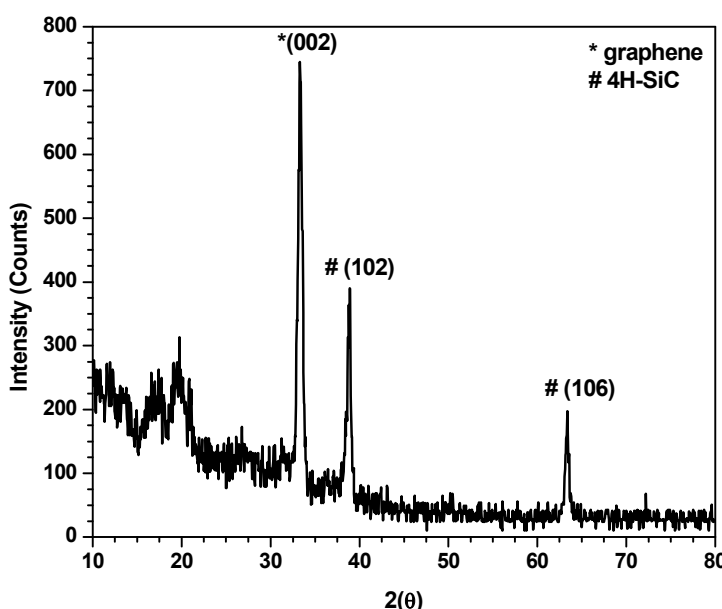
تصویر AFM نگاشت بازتابندگی از گرافن سنتز شده بر زیر لایه کاربید سلیکون به ترتیب در شکل‌های ۳ الف و ۳ ب ارائه شده است. شکل ۳ الف یکنواختی و یکریختی نمونه را نشان می‌دهد. همچنین پله‌های مربوط به زیرلایه سلیکون کاربید نیز دیده می‌شود. تعداد لایه‌های گرافن در نگاشت بازتابندگی (شکل ۳ ب) مشخص شده است. نگاشت بازتابندگی بر پایه رسم قدرت پرتو لیزر بازتابیده از نمونه در طیف سنج میکرو رامان تهیه شده و می‌تواند به دقت تعداد لایه‌ها را تا کمتر از ده لایه گرافن در نمونه‌ها شناسایی کند [۳۵]. پیش از لایه نشانی، نقاط کوانتومی گرافن بررسی شدند. شکل ۴ الف محلول شامل نقاط کوانتومی گرافن را نشان می‌دهد که با نور معمولی و نور فرابنفش برانگیخته شده‌اند. نقاط کوانتومی در معرض نور فرا بنفسن، نور با طول موج ۵۳۰ نانومتر گسیل کرده و سبز رنگ بمنظیر می‌رسند. برای بررسی اندازه نقاط، تصویر TEM نیز از آن‌ها گرفته شد که در شکل ۴ ب ارائه شده است. براساس این شکل و توزیع اندازه نقاط (شکل ۴ ب)، میانگین اندازه نقاط کوانتومی کمتر از ۶ نانومتر است.

### بحث و نتیجه گیری

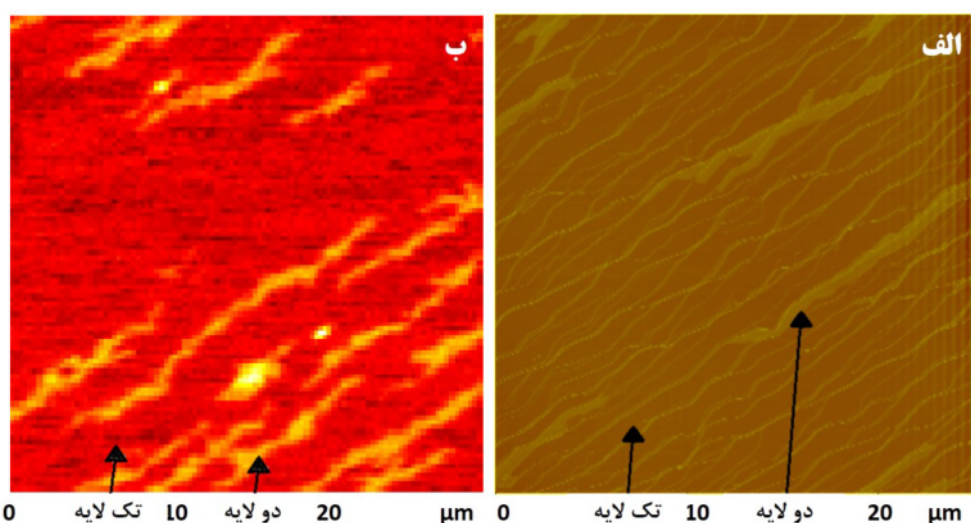
برای بررسی ساختار گرافن سنتز شده بر زیرلایه کاربید سلیکون، طیف سنجی XRD در زوایای خراشان<sup>۱</sup> انجام شد. نتایج این طیف‌سنجی در شکل ۲ نشان داده شده است. دیده می‌شود که قله ارجح در زاویه  $2\theta = 33/34^\circ$  رخ داده که مربوط به صفحه (۰۰۲) ساختار گرافن است. افزون بر آن، قله‌هایی در زوایای  $2\theta$  برابر با  $38/9$  و  $63/35$  درجه دیده می‌شوند که به ترتیب با صفحه‌های (۱۰۲) و (۱۰۶) مربوط به 4H-SiC متناظر هستند. این قله‌ها ساختار تقریباً تک بلوری تراشه‌های کاربید سلیکون را تایید می‌کند. اندازه نانو بلورک‌ها (D) با استفاده از رابطه شرر [۳۴]:

$$(1) \quad D = \frac{0.94\lambda}{\beta \cos \theta}$$

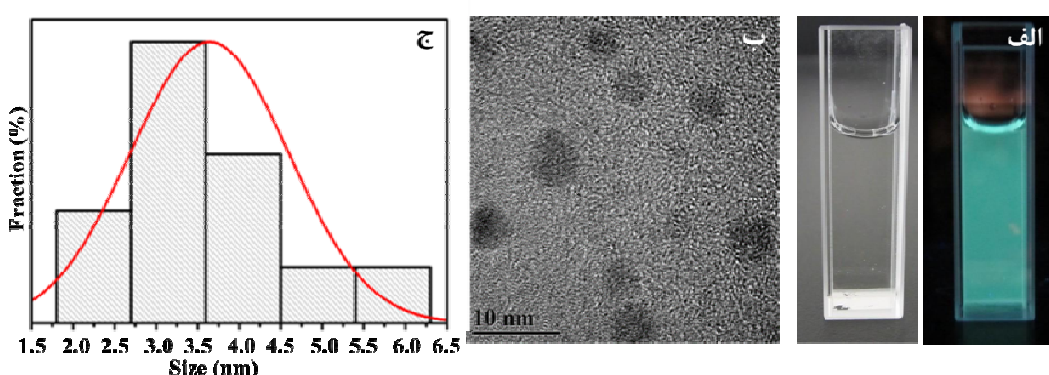
محاسبه شد که در آن،  $\lambda$  طول موج پرتو ایکس،  $\beta$  پهنا در نیم شدت قله (FWHM) و  $\theta$  زاویه پراش قله‌های است. اندازه دانه‌ها براساس قله (۰۰۲) در زاویه  $33/34^\circ$  درجه مربوط به فاز گرافن و قله (۱۰۲) در زاویه  $38/9^\circ$  درجه مربوط به فاز کاربید سلیکون به ترتیب برابر با  $29/34$  و  $29/81$  نانومتر است.



شکل ۲ طیف XRD در روزایی خراشان از سطح گرافن رشد داده شده بر زیرلایه 4H-SiC



شکل ۳ (الف) تصویر میکروسکوپ نیروی اتمی (AFM) از گرافن سنتز شده بر زیرلایه SiC و (ب) نگاشت بازتابندگی از نمونه در تصویر الف



شکل ۴ (الف) تصویر نورگسیل نقاط کوانتمومی گرافن در معرض نور معمولی که شفاف دیده می‌شوند (چپ) و نور UV که به رنگ سبز دیده می‌شوند (راست)، (ب) تصویر TEM نقاط کوانتمومی گرافن محلول در آب و (پ) نمودار توزیع اندازه نقاط کوانتمومی گرافن.

ریزتر برای لایه‌نشانی مناسب‌تر هستند، زیرا شامل مقدار بیشتری از تک لایه‌های گرافن هستند. پس از اطمینان از سونش نقاط کوانتمویی، ۱۰ میکرولیتر از محلول نقاط کوانتمویی گرافن با نمونه‌گیر در هر مرحله بر زیر لایه گرافن لایه نشانی شد. سرانجام زیر لایه‌ها در اتاقک تمیز خشک شدند دیده می‌شود.

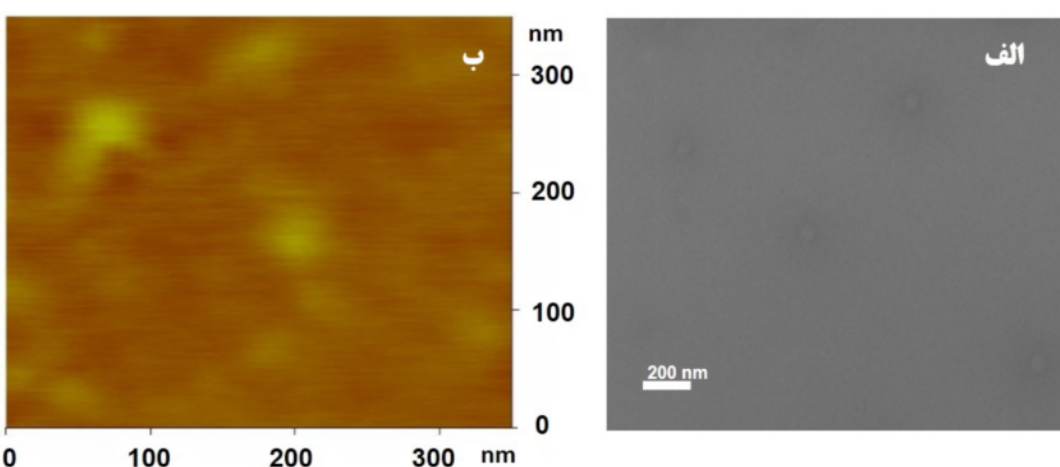
شکل‌های ۶ الف و ۶ ب، به ترتیب نشان دهنده تصاویر SEM و AFM نقاط کوانتمویی گرافن پس از فرآیند سونش بر زیرلايه هستند. چنان که در شکل ۶ الف دیده می‌شود، پخش نقاط کوانتمویی مطلوب است. همچنین با توجه به شکل ۶ ب، نقاط کوانتمویی گرافن از حالت کلوخه‌ای خارج شده‌اند و فاصله مناسبی از هم دیگر دارند.

پس از لایه‌نشانی نقاط کوانتمویی بر زیرلايه، یک تصویر کلی از سطح نمونه توسط میکروسکوپ نوری با بزرگنمایی مناسب تهیه شد. این تصویر که در شکل ۵ ارائه شده است نشان می‌دهد که با گذر زمان، نقاط کوانتمویی به صورت کلوخه‌ای در آمده‌اند. بنابراین برای تبدیل شدن به حالت آرمانی (شکل ۴ ب)، اثر فرایندهای مختلف سونش بر این ذرات بررسی شد.

برای جلوگیری از کلوخه‌ای شدن نقاط کوانتموی سونش سه مرحله‌ای با امواج فراصوت ۵۰ هرتز (دو ساعت) و ۲۰ کیلوهرتز (نیم ساعت) دستگاه فرماگز گریزی و (سانتریفیوژ) ۹۰ درجه سانتی گراد به مدت ۹۰ ۱۱۰۰ rpm دارای ۲۷ درجه سانتی گراد به مدت دقیقه انجام شد. امواج فراصوت جهت اطمینان از پخش و باز شدن کلوخه‌های احتمالی و سانتریفیوژ برای جداسازی ذرات درشت‌تر و سنتگین‌تر از ذرات ریزتر و سبکتر به کار رفتند. ذرات



شکل ۵ تصویر میکروسکوپ نوری از نقاط کوانتموی گرافن کلوخه شده بر زیرلايه.



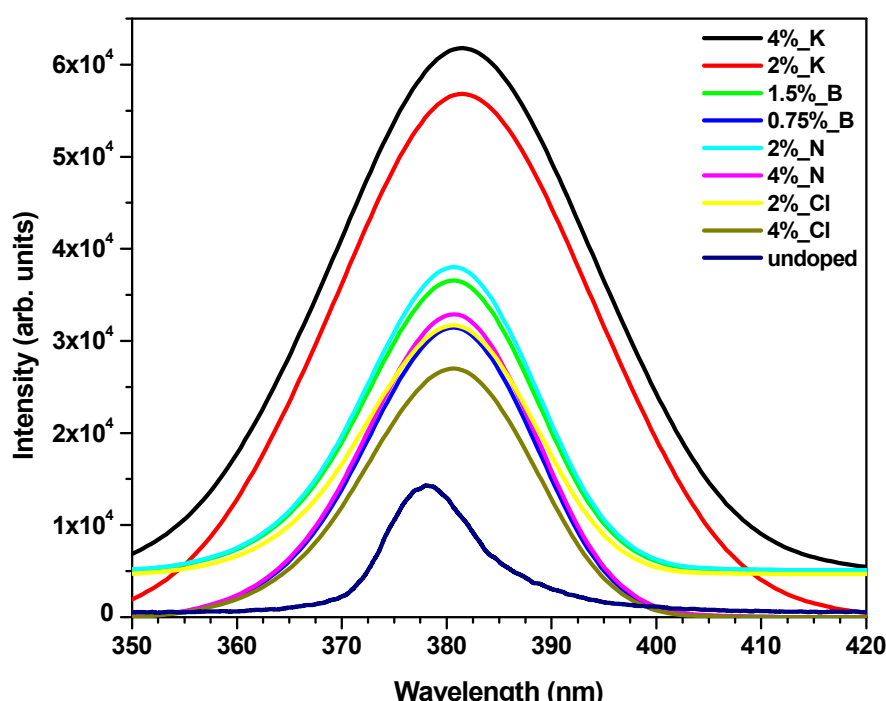
شکل ۶ (الف) تصویر میکروسکوپ الکترونی روبشی (SEM) و (ب) تصویر AFM از نقاط کوانتموی گرافن نهشته شده بر زیرلايه گرافن.

گسیلی از نقاط کوانتمومی آلایش شده افزایش می‌یابد. مقایسه شدت نسبی طیف‌های گسیلی نقاط کوانتمومی آلایش شده (شکل ۷) نشان می‌دهد که شدت قله مربوط به پتاسیم از همه بیشتر بوده که به احتمال بسیار بدلیل شعاع اتمی بزرگتر آن است.

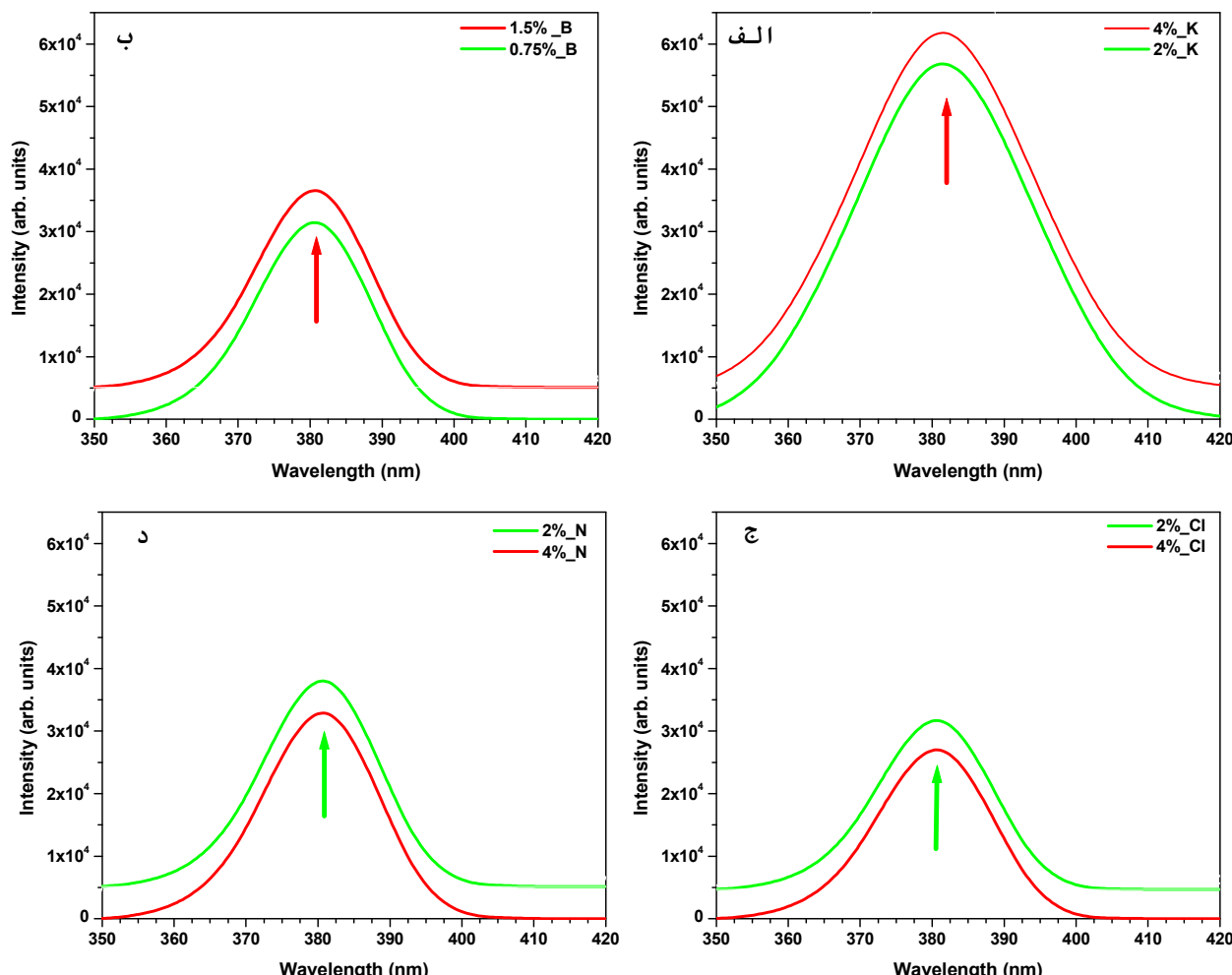
#### برداشت

اثر آلایش نقاط کوانتمومی گرافن نهشته شده بر زیر لایه گرافن رشد داده شده بر کاربید سیلیکون بر طیف‌های گسیلی از آن‌ها بررسی شد. تصاویر میکروسکوپ نیروی اتمی یکنواخت سطح گرافن رشد داده شده بر کاربید سیلیکون را نشان می‌دهد. تصویر میکروسکوپ الکترونی روشی نیز توزیع یکنواخت نقاط کوانتمومی گرافن بر زیر لایه را نشان می‌دهد. با افزایش میزان آلایش عناصر بور و پتاسیم، شدت طیف‌های گسیلی از نقاط کوانتمومی آلایش شده افزایش و با آلایش آلاینده‌های نیتروژن و کلر، شدت آن‌ها کاهش می‌یابد. با آلایش به مقدار یکسان از عناصر، شدت قله‌های مربوط به پتاسیم بیشتر از بور و شدت قله‌های نقاط کوانتمومی گرافن آلایش شده با نیتروژن نسبت به کلر بیشتر است. بهطور کلی بیشترین افزایش شدت طیف گسیلی مربوط به پتاسیم و بیشترین کاهش مربوط به کلر است.

پدیده نورتابی (PL) در نیمرساناهای اهمیت ویژه‌ای دارد. در این پدیده الکترون‌های نیمرسانا با جذب فوتون‌های نور برانگیخته شده و طی فروانگیزش به تراز پایین تر نور گسیل می‌کند [۳۶]. در اینجا به منظور بررسی اثر آلایش نقاط کوانتمومی با عناصر پتاسیم (K)، کلر (Cl)، نیتروژن (N) و بور (B) و همچنین میزان آلایش، برای لایه‌های گرافن که نقاط کوانتمومی آلایش و سونش شده بر آن‌ها بهطور یکنواخت توزیع شده‌اند طیفسنجی نور تابی انجام شد. شکل‌های ۷ و ۸ طیف‌های نورتابی نقاط کوانتمومی گرافن آلایش شده با پتاسیم، بور، نیتروژن و کلر بر زیر لایه گرافن را نشان می‌دهند. از آنجا که از نور فرابنفش با طول موج ۳۸۰ نانومتر برای مشخصه‌یابی استفاده شد، طیف گسیلی در گستره نور مرئی قله‌ای ندارد و قله‌های نقاط کوانتمومی گرافن آلایش شده با نیتروژن نسبت به کلر بیشتر است. این تفاوت در شدت قله‌ها به احتمال بسیار به دلیل بیشتر بودن الکترون خواهی نیتروژن ( $3/4$ ) و انرژی یونش آن در حالت مولکولی ( $150.3 \text{ kJ/mol}$ ) و در حالت اتمی ( $140.2 \text{ kJ/mol}$ ) از الکترون خواهی کلر ( $3/16$ ) و انرژی یونش آن ( $34.9 \text{ kJ/mol}$ ) است. افزون بر آن، با افزایش آلایش (برای بور از  $75\%/\text{nm}^2$  به  $15\%/\text{nm}^2$  و برای پتاسیم از  $2\%/\text{nm}^2$  به  $4\%/\text{nm}^2$ ) شدت طیف



شکل ۷ طیف نورتابی (PL) نقاط کوانتمومی گرافن آلایش شده با پتاسیم، بور، نیتروژن و کلر نهشته شده بر زیر لایه گرافن



شکل ۸ طیف نورتابی (PL) نقاط کوانتومی گرافن آلایش شده با (الف) پتاسیم (۰٪ و ۷۵٪)، (ب) بور (۲٪ و ۱۵٪)، (پ) کلر (۲٪ و ۴٪) و (ت) نیتروژن (۲٪ و ۴٪).

Crystallography and Mineralogy 24 (2016) 109-116.

[4] Khosroabadi S., Kazemi A., "High efficiency gallium phosphide solar cells using TC-doped absorber layer", Physica E: Low-dimensional Systems and Nanostructures, 104 (2018) 116-123.

[5] Fadavieslam M.R., Kazemi A., "Influence of Ag concentration on the structure, optical and electrical properties of  $\text{SnS}_2$ : Ag thin films prepared by spray pyrolysis deposition", Journal of Materials Science: Materials in Electronics, 28 (2017) 3970-3977.

[6] Geim, A.K., "Graphene: status and prospects", science 324.5934 (2009) 1530-1534.

#### مراجع

- [1] Zargar S., Poormoghadam A., Farbod M., "Fabrication and study of structural, optical and magnetic properties of  $\text{Zn}_{1-x}\text{Ni}_x\text{O}$  nanoparticles", Iranian Journal of Crystallography and Mineralogy 24 (2016) 309-316.
- [2] Fadavieslam M.R., "Deposition and characterization of  $\text{SnO}_2:\text{Sb}$  thin films fabricated by the spray pyrolysis method", Iranian Journal of Crystallography and Mineralogy 27 (2019) 739-746.
- [3] Niyaifar M., "Study of magnetic properties and Mössbauer spectroscopy of  $\text{Y}_{3-x}\text{Bi}_x\text{Fe}_5\text{O}_{12}$  prepared by sol-gel method", Iranian Journal of

- [17] Hasanpour A., Gharibshahi M., Niyarifar M., "Effect of cerium doping on the magnetic properties of yttrium iron garnet thin films on quartz substrates", Iranian Journal of Crystallography and Mineralogy, 23 (2015) 469-478.
- [18] Sarraf N., Hasanpour A., Hashemizade A., Akhound A., "Investigation of room temperature ferromagnetic behavior in Mn doped ZnO nanoparticles", Iranian Journal of Crystallography and Mineralogy, 23 (2015) 383-388.
- [19] Salimian S., Farjami S., "The effect of temperature and annealing on the structural properties of CdS: Mn semiconductor nanocrystals", Iranian Journal of Crystallography and Mineralogy, 17 (2010) 621-628.
- [20] Novoselov K.S., Geim A.K., Morozov S.V., Jiang D., Zhang Y., Dubonos S.V., Grigorieva I.V., Firsov A.A., "Electric field effect in atomically thin carbon films", science 306, 5696 (2004) 666-669.
- [21] Li X., Cai W., Colombo L., Ruoff R.S., "Evolution of graphene growth on Ni and Cu by carbon isotope labeling", Nano letters 9, 12 (2009) 4268-4272.
- [22] Sutter P.W., Flege J.I., Sutter E.A., "Epitaxial graphene on ruthenium", Nature materials, 7 (2008) 406-411.
- [23] Lee S.M., Kim J.H., Ahn J.H., "Graphene as a flexible electronic material: mechanical limitations by defect formation and efforts to overcome", Materials Today 18, 6 (2015) 336-344.
- [24] Somani P.R., Somani S.P., Umeno M., "Planer nano-graphenes from camphor by CVD", Chemical Physics Letters, 430 (2006) 56-59.
- [25] Robinson JT, Perkins FK, Snow ES, Wei Z, Sheehan PE. "Reduced graphene oxide molecular sensors", Nano letters 8, 10 (2008) 3137-3140.
- [26] Berger C., Song Z., Li T., Li X., Ogbazghi A.Y., Feng R., Dai Z., Marchenkov A.N., Conrad E.H., First P.N., De Heer W.A., "Ultrathin epitaxial graphite: 2D electron gas properties and a route toward graphene-based nanoelectronics", The Journal of Physical Chemistry B 108, 52 (2004) 19912-19916.
- [27] Berger C., Song Z., Li X., Wu X., Brown N., Naud C., Mayou D., Li T., Hass J., Marchenkov [7] Fredrik S., Geim A.K., Morozov S.V., Hill E.W., Blake P., Katsnelson M.I., Novoselov K.S., "Detection of individual gas molecules adsorbed on graphene", Nature materials 6, 9 (2007) 652-655.
- [8] Kaushik P.D., Rodner M., Lakshmi G.B.V.S., Ivanov I.G., Greczynski G., Palisaitis J., Eriksson J., Solanki P., Aziz A., Siddiqui A.M., Yakimova R., "Surface functionalization of epitaxial graphene using ion implantation for sensing and optical applications", Carbon, 157 (2020) 169-184..
- [9] Kaushik P.D., Ivanov I.G., Lin P.C., Kaur G., Eriksson J., Lakshmi G.B.V.S., Avasthi D.K., Gupta V., Aziz A., Siddiqui A.M., Syväjärvi M., "Surface functionalization of epitaxial graphene on SiC by ion irradiation for gas sensing application", Applied Surface Science, 403 (2017) 707-716.
- [10] Ajayan, P.M., James M.T., "Nanotube composites", Nature 447, 7148 (2007) 1066-1068.
- [11] Buehler, M.J., "Nanomaterials: Strength in numbers", Nature Nanotechnology 5, 3 (2010) 172.
- [12] Young-Woo S., Cohen M.L., Louie S.G., "Erratum: Energy Gaps in Graphene Nanoribbons", Physical Review Letters 98, 8 (2007) 089901.
- [13] Raveendran N.R., Blake P., Grigorenko A.N., Novoselov K.S., Booth T.J., Stauber T., Peres N.M., Geim A.K., "Fine structure constant defines visual transparency of graphene", Science 320, 5881 (2008) 1308-1308.
- [14] Çağlar Ö.G., Meyer J.C., Erni R., Rossell M.D., Kisielowski C., Yang L., Park C.H., Crommie M.F., Cohen M.L., Louie S.G., Zettl A., "Graphene at the edge: stability and dynamics", science 323, 5922 (2009) 1705-1708.
- [15] Ritter K.A., Lyding J.W., "The influence of edge structure on the electronic properties of graphene quantum dots and nanoribbons", Nature materials 8, 3 (2009) 235-242.
- [16] Rabiee F., Ghazi M.A., Izadifar M., "Investigation of sensing properties of cobalt doped nickel-ferrite nanostructures synthesized by microwave method", Iranian Journal of Crystallography and Mineralogy, 23 (2016) 689-698.

- a comparison with other SiC polytypes", Carbon 57 (2013) 477-484.*
- [32] Yazdi G.R., Iakimov T., Yakimova R., "Epitaxial graphene on SiC: a review of growth and characterization", Crystals 5 (2016) 53.
- [33] Backes C., Abdelkader A.M., Alonso C., Andrieux-Ledier A., Arenal R., Azpeitia J., Balakrishnan N., Banszerus L., Barjon J., Bartali R., Bellani S., "Production and processing of graphene and related materials", 2D Materials 2 (2020) 022001.
- [34] Monshi A., Foroughi M.R., Monshi M.R., "Modified Scherrer equation to estimate more accurately nano-crystallite size using XRD", World journal of nano science and engineering 3 (2012) 154-160.
- [35] Ivanov I.G., Hassan J.U., Iakimov T., Zakharov A.A., Yakimova R., Janzén E., "Layer-number determination in graphene on SiC by reflectance mapping", Carbon 77 (2014) 492-500.
- [36] Wang Z., Zeng H., Sun L., "Graphene quantum dots: versatile photoluminescence for energy, biomedical, and environmental applications", Journal of Materials Chemistry C. (2015) 1157-65.
- A.N., Conrad E.H., "Electronic confinement and coherence in patterned epitaxial graphene", Science 312, 5777 (2006) 1191-1196.
- [28] Yakimova R., Virojanadara C., Gogova D., Syväjärvi M., Siche D., Larsson K., Johansson L.I., "Analysis of the formation conditions for large area epitaxial graphene on SiC substrates", Materials Science Forum, 645 (2010) 565-568.
- [29] Suk J.W., Lee W.H., Lee J., Chou H., Piner R.D., Hao Y., Akinwande D., Ruoff R.S., "Enhancement of the electrical properties of graphene grown by chemical vapor deposition via controlling the effects of polymer residue", Nano letters 13, 4 (2013) 1462-1467.
- [30] Pirkle A., Chan J., Venugopal A., Hinojos D., Magnuson C.W., McDonnell S., Colombo L., Vogel E.M., Ruoff R.S., Wallace R.M., "The effect of chemical residues on the physical and electrical properties of chemical vapor deposited graphene transferred to SiO<sub>2</sub>", Applied Physics Letters 99, 12 (2011) 122108.
- [31] Yazdi G.R., Vasiliauskas R., Iakimov T., Zakharov A., Syväjärvi M., Yakimova R., "Growth of large area monolayer graphene on 3C-SiC and